

2.3.2. HESTHAG C2

En stabil lokalitet i mellom- og seinmesolitikum og et utsiktspunkt med rituell aktivitet i neolitikum?

Synnøve Viken

C59683, Hesthag, 47/2, Arendal kommune, Aust-Agder					
Askeladden-ID	Utgravd areal	Antall funn	Høyde	Datering	Strukturer
170172	156 m ²	19 470	26–28 moh.	MM–MN	8 stk.

SAMMENDRAG

Hesthag C2 lå på en flate 28 moh. Under utgravningen ble syv ildsteder og én kokegrop påvist og undersøkt. Til sammen 19 469 gjenstander av flint, kvarts, bergkrystall, kvartsitt og bergart ble samlet inn, i tillegg til ett skår av keramikk. Høyde over havet, C14-dateringer og typologiske og teknologiske trekk ved materialet antyder at Hesthag C2 har vært brukt gjentatte ganger over et langt tidsrom – fra tidlig i mellommesolitikum til mellomneolitikum B, ca. 8000–2350 f.Kr. Strukturene er datert til seinmesolitikum, overgangen seinmesolitikum–tidligneolitikum og eldre jernalder. Dateringsresultatene reflekterer dermed også bruksfaser som ikke er tydelige i funnmaterialet.

Med utgangspunkt i funnspredningen og funnmaterialet undersøkes lokalitetens funksjoner i mesolitikum og neolitikum. Funnspredningen, funnsammensetningen og den antatt mobile livsstilen i mesolitikum taler for gjentatte besøk på stedet i forbindelse med jakt og fangst i mellom- og seinmesolitikum. De neolittiske funnene tolkes som spor av at lokaliteten kan ha fungert som utsikts- eller rasteplass i forbindelse med jakt eller fiske i neolitikum. En brent og fragmentert flintøks antyder samtidig at det kan ha foregått rituelle handlinger på lokaliteten i mellomneolitikum.

BAKGRUNN FOR UNDERSØKELSEN AV HESTHAG C2

Under registreringen av lokaliteten (ID 170172) var 9 av i alt 13 prøvestikk positive og ga totalt 140 funn av flint, kvarts og bergkrystall. Lokaliteten, med et estimert areal på 860 m², ble avgrenset av negative prøvestikk mot vest og mot sør, mens den ble topografisk avgrenset mot sørøst, øst og nord. På bakgrunn av foreløpige strandlinjekurver og funnmateriale ble den datert til seinmesolitikum (Eskeland 2013).

BELIGGENHET, TOPOGRAFI OG JORDSMONN

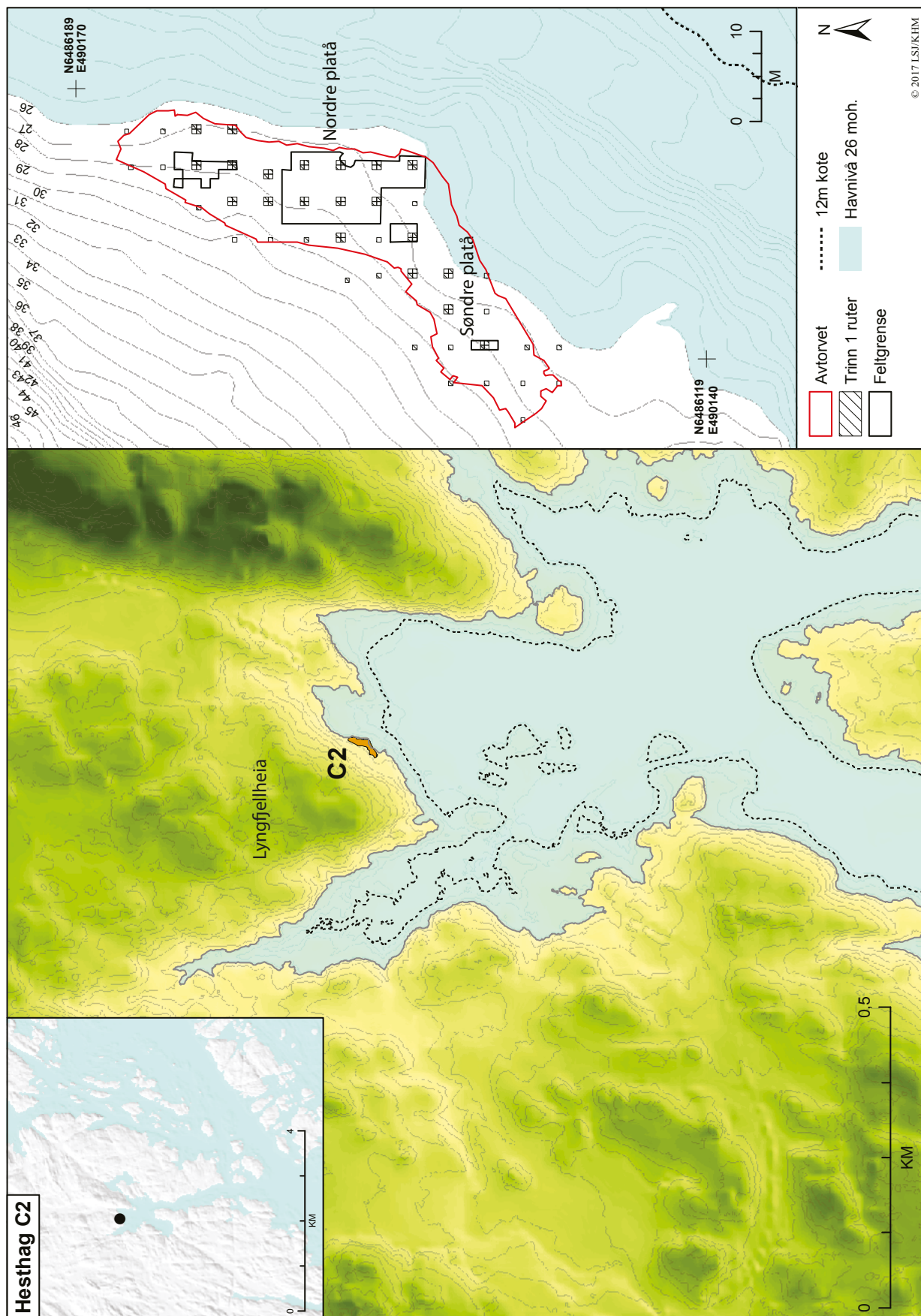
Flaten lokaliteten lå på, utgjorde en høyde, 28 moh., like vest for Otterslandveien (fv. 140) og bestod av to platåer som begge var øst–sørøstvendt. Fra lokaliteten falt terrenget bratt ned mot Otterslandveien. I nordlig ende av det nordlige platået var det en bratt skråning ned mot lokaliteten Hesthag C1 i øst. I sørlig kant av dette platået hullet terrenget mot sør og sørvest. Herfra steg terrenget mot det sørlige platået. Videre var lokaliteten omkranset av berg i nordøst, øst og sør. Mot vest steg terrenget bratt opp mot Lyngfjellheia (fig. 2.3.2.1). Før undersøkelsen startet, var flaten

bevokst med blandingsskog med overvekt av løvtrær. Torvdybden varierte fra 5 til 10 cm, og undergrunnen bestod av silt- og grusholdig sandjord med et tynt utvaskingslag i toppen. Undergrunnen var relativt steinfri, med unntak av det lavereliggende området mellom de to platåene.

Rundt 8000–7500 f.Kr., da havet stod rundt 26 meter høyere enn i dag, lå lokaliteten ved sjøkanten på et nes i en fjordarm (fig. 2.3.2.1). Fjordarmen dannet et større basseng inne ved Hesthag, med en smalere utgang til havet ved dagens Eydehavn. Det lavereliggende området mellom platåene kan ha vært en egnet havn da havet stod på dette nivået. En utflating i strandlinjekurven (jf. Romundset, kap. 3.2, denne bok) viser at lokaliteten har ligget nær sjøen også i seinmesolitikum. Det samme gjelder til en viss grad også i neolitikum, men da noe mer tilbaketrukket fra sjøen og inntil 15 m høyere enn det samtidige havnivået (se fig. 2.3.2.1).

UTGRAVNING, METODE OG FAGLIGE PRIORITERINGER

I likhet med de øvrige steinalderlokalitetene undersøkt i regi av E18 Tvedestrand–Arendal-prosjektet



Figur 2.3.2.1: Hesthag C2 sin beliggenhet ved havnivå satt til 26 og 12 meter over dagens, tilsvarende ca. 8000–7500 f. Kr. og ca. 2500 f.Kr. Ill.: L.S. Johannesen / KHM. *Figure 2.3.2.1: Hesthag C2 with reconstructed sea levels at 26 and 12 metres above today's level, corresponding to c. 8000–7500 BC and c. 2500 BC, respectively (cf. Romundset, chapter 3.2, this volume).*



Figur 2.3.2.2: Høststemning på Hesthag C2 under utgravningens trinn 2. *Figure 2.3.2.2: Autumn leaves at Hesthag C2 during excavation, facing east.*

ble Hesthag C2 undersøkt i tre utgravningstrinn (jf. Sundström mfl., kap. 1.5, denne bok).

Trinn 1

Under undersøkelsens trinn 1 ble det gravd til sammen 103 prøveruter à $0,5 \times 0,5$ m. Dette tilsvarer et areal på $25,75 \text{ m}^2$. Størstedelen av de 2932 funnene fra trinn 1 ble samlet inn fra den nordre delen av lokaliteten og i hovedsak i de øverste 10 cm av undergrunnen. Enkelte funn av slipt flint indikerte at lokaliteten ikke var enfaset mellommesolittisk, men at det også fantes spor etter bruk av stedet i neolitikum.

Trinn 2

For å få et inntrykk av eventuelle funnkonsentrasjoner og for å søke etter strukturer ble hovedinnsatsen under trinn 2 å grave størst mulig del av det nordre platået i lag 1 (fig. 2.3.2.2). Det ble gravd i kvadranter ($0,5 \times 0,5$ m) og 10 cm tykke, mekanisk oppdelte lag.

Sentrale problemstillinger for undersøkelsen var å undersøke om man kunne avdekke en intern boplassorganisering, eller om gjentatte besøk på stedet gjorde dette vanskelig. Med utgangspunkt i funnspreddingen

og funnmaterialet skulle lokalitetens funksjoner i mesolitikum og neolitikum undersøkes. Et annet mål var å fremskaffe et materiale som kunne bidra til kunnskap om teknologiske, typologiske og kronologiske forhold.

Tre områder ble åpnet opp på det nordre platået (fig. 2.3.2.1): et lite område lengst sør, et mindre område lengst nord og et stort område sentralt på flaten, der potensialet for strukturer var antatt størst. På denne nordlige delen av lokaliteten ble det også påvist og undersøkt seks ildsteder under gravingen i trinn 2: ett ildsted innenfor det lille feltet lengst nord og fem ildsteder innenfor det store utgravningsfeltet sentralt på flaten. Samtlige strukturer ble påvist i toppen av lag 2 etter at lag 1 var gravd vekk. På det søndre platået ble det gravd få ruter i trinn 2 fordi dette området hadde lav funnfrekvens (se fig. 2.3.2.10).

Trinn 3

Under trinn 3 fjernet gravemaskinen gradvis masser ned til steril grunn, slik at eventuelle dypere strukturer eller funn kunne oppdages underveis. Det ble avdekket ytterligere to strukturer på det nordlige platået – ett ildsted og én kokegrop – under flateavdekkingen.

KILDEKRITISKE FORHOLD

Funnene dateres typologisk til ulike perioder av steinalderen, og C14-dateringer fra fire av de dokumenterte strukturene viser at det også har vært aktivitet på lokaliteten i eldre jernalder (tab. 2.3.2.11). Løsfunn og arkeologiske undersøkelser omkring Øvre Hesthag gård vitner dessuten om mer eller mindre kontinuerlig bruk av området gjennom store deler av forhistorisk tid frem til i dag, med C14-dateringer fra ulike kontekster til seinneolitikum, bronsealderen og eldre jernalder (jf. McGraw, kap. 2.6.1, denne bok; Reitan mfl. kap. 3.9, denne bok). Etersom lokalitetsflaten på Hesthag C2 har blitt brukt i ulike perioder, gjenspeiler ikke funnspreidningsanalyser en uforstyrret forhistorisk situasjon.

Hesthag C2 lå i et utmarksområde i nærheten av et plantefelt. Det var ikke synlige spor av moderne forstyrrelser som kan ha påvirket undergrunnen i forbindelse med dette. Det kan likevel antas at naturlige prosesser som rotvelte og frost/tining har hatt innvirkning på funnspreidningen (jf. Darmark, kap. 3.3, denne bok).

ILDSTEDER OG KOKEGROP

Ildsteder

I alt syv ildsteder ble påvist og undersøkt (fig. 2.3.2.3). Seks av ildstedene (S1–S6) ble påvist under graving i trinn 2 på det nordre platået. De seks ildstedene fremstod som ansamlinger av skjørbrent stein. Det var lite synlig kull i toppen av strukturene.

Ytterligere ett ildsted (S7) ble påvist under flateavdekkingen i trinn 3 og lå i forbindelse med det mulige båttopptrekket mellom det søndre og det nordre platået. Ildstedet hadde mer sotete fyllmasse mellom steinene i toppen enn ildstedene som ble påvist i trinn 2. Strukturen er tolket som ildsted på bakgrunn av at den var liten og grunn.

Kokegrop

En nedgraving (S8) ble påvist og undersøkt i trinn 3 (fig. 2.3.2.3). I gropen var det synlig kull mellom de varmepåvirkede steinene. I profilet var det tydelig at kullet og steinene lå i en nedgraving med skrå kanter og flat bunn, og strukturen er derfor tolket som en kokegrop.

FUNNMATERIALE OG FUNNSPREIDNING

Det ble totalt samlet inn 19 469 artefakter av bearbeidet stein på Hesthag C2 (tab. 2.3.2.4). Flint er det klart dominerende råstoffet, fulgt av mindre andeler

kvarts og bergkrystall. Bergartsfunnene utgjør en marginal del av funnmaterialet. Totalt 426 gjenstander er sekundærbearbeidet, noe som gir en redskapsandel på 2,2 %.

I dette kapittelet vil funnmaterialet fra hele lokaliteten presenteres. Først vil de ulike råstoffene gjennomgås, før ulike funnkategorier drøftes. Til slutt vil det gjøres rede for funnspreidningen på lokaliteten.

Råstoff

Flint

Av flintfunnene er 2,5 % sekundærbearbeidet, og rundt en femtedel har rester av cortex. Kjerner med vannrullet cortex tyder på at strandflint har blitt benyttet. Flintmaterialet er fragmentert; over halvparten av flinten er skilt ut som varmepåvirket. I det som er klassifisert som brent, kan det finnes frostsprengt flint siden frostsprengning kan gi lignende frakturer som ild.

Kvarts

Bare tre kvartsfunn er sekundærbearbeidet. Samtlige er av gjennomskinnelig melkekvarts av god kvalitet. Mye av kvartsmaterialet er av dårlig kvalitet. Denne kvartsen er grovkornet med mange naturlige sprekker, men den er tydelig slått. Sannsynligvis stammer kvartsen som er av dårlig kvalitet, fra rensing av klaser med bergkrystall.

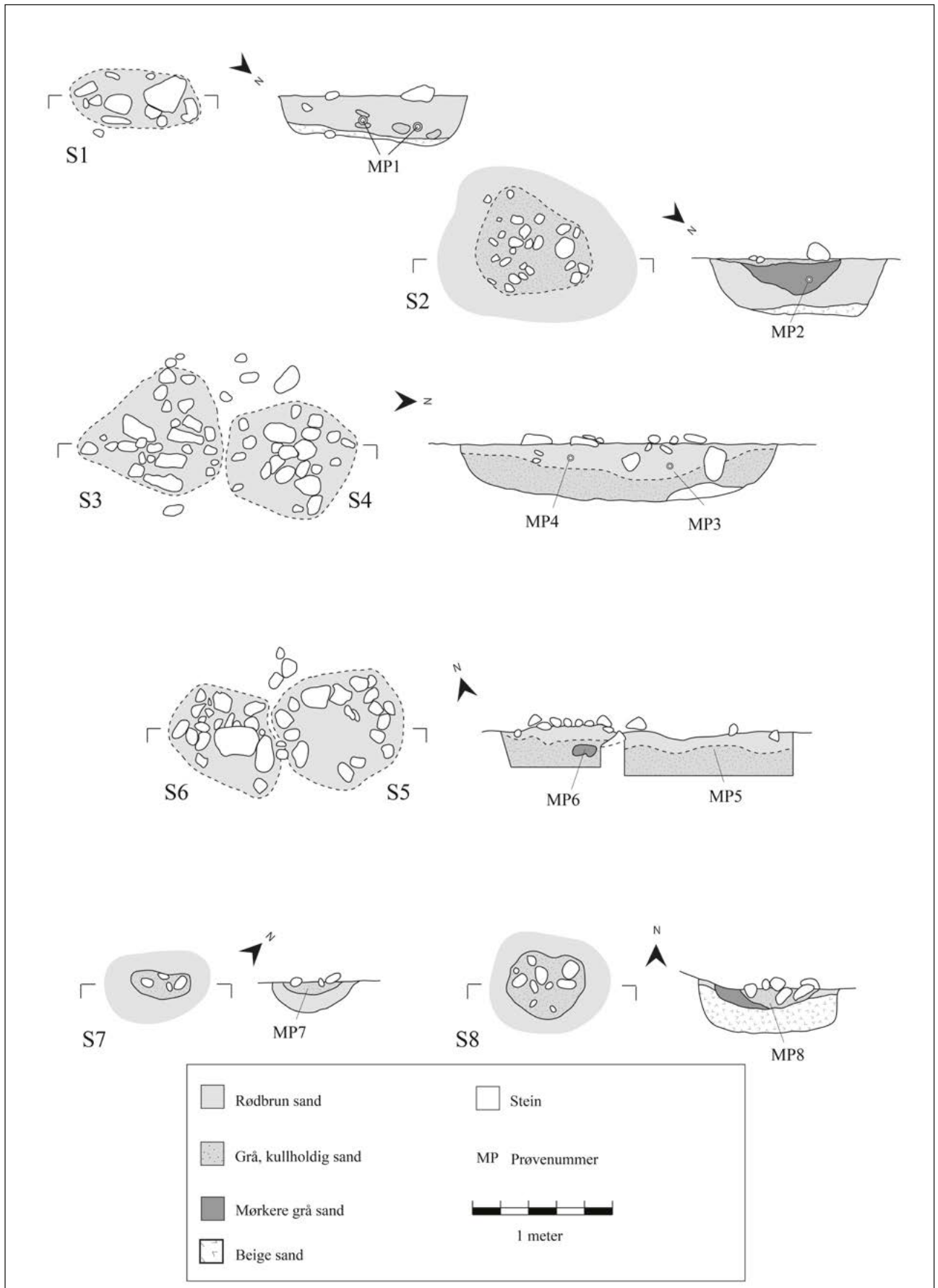
Bergkrystall

Av bergkrystall er ni funn sekundærbearbeidet. Det er problematisk å skille mellom bergkrystall og kvarts av god kvalitet. Skillet mellom de to ble ytterligere forvansket av at det ble funnet urene, hele bergkrystaller. Bare funn som sikkert kunne identifiseres å ha blitt slått av rene, gjennomskinnelige bergkrystaller, samt hele krystaller er klassifisert som bergkrystall.

Bergart, sandstein og kvartsitt

Blant bergartsfunnene er over en fjerdedel sekundærbearbeidet. Blant de sekundærbearbeidede bergartsfunnene er det et mulig anheng, trinnøkser og deler av økser. Disse funnene er laget av bergarter som ikke er typebestemt, men som kan minne om tett, finkornet sandstein. Det ble også funnet elleve knakkesteiner av ulike typer bergart. Av sandstein foreligger det slipeplatefragmenter og fragmenter av kniver. Ett fragment med retusj er av en rødrosa, finkornet og tett bergart som er identifisert som metarhyolitt.

Av finkornet, hvit kvartsitt foreligger det utelukkende primærttilvirkede funn. Tre av kvartsittfunnene er skilt ut som flekker.



Figur 2.3.2.3: Ildsteder (S1–S7) og kokegrop (S8) fra Hesthag C2 i plan og profil. Rentegnet av L.S. Johannesen / KHM.
Figure 2.3.2.3: Digitalised field drawings of the hearths (S1–S7) and the cooking pit (S8) at Hesthag C2.

U.nr.	Hovedkategori	Antall	%	Delkategori/merknad	Antall
<i>Sekundærbearbeidet flint</i>					
2	Øks	9	0,1	Firesidig	3
				Slipt øksefragment	6
3	Pilspiss	10	0,1	Mikrolitt	7
				Med buede egger og tange	1
				Med rette egger og tange	1
				Tangefragment	1
4	Flekk	156	0,9	Med retusj	129
				Bor	8
				Kniv	6
				Skrap	12
				Pilspiss	1
6	Mikroflekk	89	0,6	Med retusj	82
				Bor	7
8	Avslag	34	0,2	Med retusj	30
				Bor	1
				Skrap	3
10	Fragment	91	0,6	Med retusj	79
				Skrap	12
12	Splint	6	0,0	Med retusj	6
Sum sekundærbearbeidet flint		394	2,5		
<i>Primærtvirket flint</i>					
5	Flekk	893	5,6	Primærflekk	6
				Sekundærflekk	9
				Med rygg	10
				Overløpen flekk	1
				Andre flekker	867
7	Mikroflekk	1680	10,5	Sekundærmikroflekk	4
				Med rygg	15
				Andre mikroflekker	1661
9	Avslag	1577	9,8	Primæravslag	28
				Sekundæravslag	18
				Mulig flatehuggingsavslag	1
				Mulig stikkelavslag	2
				Bipolart	19
				Andre avslag	1509
11	Fragment	6820	42,6		6820
13	Splint	4440	27,7	Med slagbule	591
				Uten slagbule	3849
14	Kjerne	206	1,3	Konisk kjerne	14
15				Mikroflekkkjerne	2
16				Plattformkjerne	21
17				Bipolar kjerne	75
18				Uregelmessig kjerne	7
19				Kjernefragment	87
20	Knoll	10	0,1	Med åpningsavslag	4
				Utstedte knoller	6
Sum primærtvirket flint		15626	97,5		
Sum, flint		16020	100		
<i>Varmepåvirket flint</i>		9309	58,1		
<i>Flint med cortex</i>		3420	21,3		
Prosentandel av alle steinfunn			82,3		
<i>Sekundærbearbeidet bergkrystall</i>					
21	Pilspiss	1	0,1	Lansettlignende	1
23	Mikroflekk	1	0,1	Med retusj	1
25	Avslag	2	0,2	Med retusj	2
27	Fragment	5	0,5	Med retusj	4
				Skrap/kniv	1
Sum sekundærbearbeidet bergkrystall		9	0,8		

U.nr.	Hovedkategori	Antall	%	Delkategori/merknad	Antall
<i>Primærttilvirket bergkrystall</i>					
22	Flekk	10	0,9		10
24	Mikroflekk	46	4,3		46
26	Avslag	72	6,7	Bipolart	10
				Åpningsavslag	1
				Andre avslag	61
28	Fragment	608	56,9		608
29	Splint	291	27,2	Med slagbule	16
				Uten slagbule	275
30	Kjerne	28	2,6	Mikroflekkkjerne	1
				Plattformkjerne	3
				Bipolar kjerne	16
				Uregelmessig kjerne	5
				Plattformavslag	1
				Andre kjernefragment	2
35	Råstoff	5	0,5	Ubearbejdede krystaller	5
Sum primærttilvirket bergkrystall		1060	99,2		
Sum, bergkrystall		1069	100		
Prosentandel av alle steinfunn			5,5		
<i>Sekundærbearbejdet kvarts</i>					
36	Pilspiss	1	0,0		1
37	Avslag	2	0,1	Med retusj	2
Sum sekundærbearbejdet kvarts		3	0,1		
<i>Primærttilvirket kvarts</i>					
38	Avslag	145	6,4	Bipolart	10
				Andre avslag	135
39	Fragment	1926	84,8		1926
40	Splint	188	8,3		188
41	Kjerne	10	0,4	Plattformkjerne	2
				Bipolar kjerne	5
				Uregelmessig kjerne	3
Sum primærttilvirket kvarts		2269	99,9		
Sum, kvarts		2272	100		
Prosentandel av alle steinfunn			11,7		
<i>Sekundærbearbejdet bergart</i>					
48	Smykke	1	0,9	Anheng	1
49	Øks	10	9,3	Hel trinnøks	1
				Egg- og midtparti av trinnøks	1
				Eggparti av tverrøks	1
				Øksefragment	7
52	Slippeplate	10	9,3		10
55	Fragment	1	0,9	Av metarhyolitt, med retusj	1
57	Kniv	7	6,5	Sandsteinskniv	7
Sum sekundærbearbejdet bergart		29	26,9		
<i>Primærttilvirket bergart</i>					
44	Flekk	3	2,8	Av kvartsitt	3
45	Avslag	9	8,3	Av kvartsitt	9
46	Fragment	37	34,3	Av kvartsitt	37
47	Splint	4	3,7	Av kvartsitt	4
53	Knakkestein	11	10,2		11
54	Avslag	13	12,0		13
56	Fragment	2	1,9		2
Sum primærttilvirket bergart		79	73,1		
Sum, bergart		108	100		
Prosentandel av alle steinfunn			0,6		
SUM, ALLE STEINFUNN		19469	100		

Tabell 2.3.2.4: Oversikt over alle steinfunn fra Hesthag C2 (C59683) fordelt på råstoff og kategori. *Table 2.3.2.4: All lithic finds from Hesthag C2 (C59683) organized according to raw material and category.*



Figur 2.3.2.5: Sandsteinskiver (a–b), mulig anheng (c), trinnøks (d) og flintøks (e) fra Hesthag C2. Ill.: S. Viken / KHM.
Figure 2.3.2.5: Sandstone knives (a–b), pendant (c), pecked chubby adze (d) and flint axe (e) from Hesthag C2.

Redskaper, kjerner og øvrig funnmateriale

Økser

En prikkhugd trinnøks med slipt eggparti (fig. 2.3.2.5 d) ble funnet stående vertikalt innunder en stor stein lengst øst på det nordre plataet. Eggen på øksen er nedslitt, men øksen er ellers hel. Det ble funnet et egg- og midtparti fra ytterligere én trinnøks på det nordre plataet. Et tredje øksefragment kan ikke typebestemmes nærmere enn at det er et slipt eggfragment fra en tverregget øks.

En firesidig slipt flintøks (fig. 2.3.2.5 e) ble også funnet på det nordre plataet. Øksen er kraftig brent og ble funnet i tre deler. Eggen på øksen er ødelagt som følge av bruk, mens nakken er delvis ødelagt på grunn av brenningen. Flere negative avspaltninger på øksens flatsider viser at øksen har blitt bearbeidet etter en tids bruk. Fragmenteringen vanskeliggjør typebestemningen av øksen, men den er etter alt å dømme av en tynnbladet, tykknakket type (jf. Malmer 1975: 76–77).

Det ble i tillegg funnet slipte avslag og fragmenter av flint. Disse kan stamme fra bearbeiding, opphugging eller bruk av andre slipte flintøkser på lokaliteten. To av de slipte flintavslagene og det ene slipte flintfragmentet har fasetter som viser at de stammer fra økser hvor både smal- og bredsidene har vært slipt.

Slipte avslag og fragmenter av bergart er også tolket som avfall fra omhugging av slipte økser. Fire av de slipte fragmentene av en mørk, brunsvart bergart kan sammenføres og stammer fra området like bak eggen på en minst 6 cm bred øks av firesidig type.

Mikrolitter og pilspisser

Syv funn er katalogisert som mikrolitter (fig. 2.3.2.6 e–j). Det er ikke tegn til at disse er fremstilt ved hjelp av mikrostikkeltknikk, og flere har proksimalenden bevart. Når disse funnene likevel er kalt mikrolitter, er det først og fremst på bakgrunn av at mikrolitter fra mellommesolittiske lokaliteter på Østlandet etter all sannsynlighet ikke er fremstilt ved hjelp av mikrostikkeltknikk (Ballin og Jensen 1995; Ballin 1999a; Mansrud 2013a; Solheim 2013a: 269–272; Damlien 2016: 384; Reitan 2016: 31–32). Av de syv mikrolittene er fire katalogisert som lansetter og tre som skjvtrekanter. I tillegg er ni mikroflekker med retusj katalogisert som mulige mikrolitter. Disse er imidlertid ikke typesikre.

De tre mulige tangepilspissene og det antatte emnet til en A-spiss er av varierende form og størrelse (fig. 2.3.2.6 a–d). Emnet har et retusjert parti i proksimalenden, som er tolket som et tangeparti, men distalenden på flekken er krummet og burde ha blitt fjernet for å lage en skarp odd.

Pilspissen av bergkrystall er lansettformet, men den har større dimensjon enn vanlige mellommesolittiske lansetter og kan derfor minne om en tidligmesolittisk lansettmikrolitt (jf. Jaksland 2001: 27–34). Den mulige pilspissen av kvarts har tange og buede egger.

Bor og skrapere

Seksten funn er katalogisert som bor (fig. 2.3.2.7 a–g). Åtte av borspissene er laget av flekker, syv av mikroflekker og én av et avslag.

Tjueåtte funn er katalogisert som skrapere (fig. 2.3.2.7 j–n). Skraperne er laget av avslag og flekker. Tolv av skraperne er fragmentert. Eggen på skraperne varierer fra tilnærmet rett til buet. Av skraperne med buet skraperegg har de fleste konveks enderetusj, men det foreligger også to skrapere med konkav enderetusj.

Øvrige redskaper

De øvrige redskapene består av flekker og mikroflekker med retusj (fig. 2.3.2.8 a–l). Det er i mange tilfeller vanskelig å typebestemme slike redskaper, men flertallet av flekkene og mikroflekkene er sannsynligvis egger fra skjære- og skraperedskaper (jf. Callanan 2007). Seks retusjerte flekker er katalogisert som kniver, mens ett retusjert fragment er katalogisert som skrapere/kniv.

Flekkefragmenter med bruksspor på hjørnene foreligger også blant gjenstandene fra Hesthag C2 (fig. 2.3.2.8 m–q). Disse har klare likhetstrekk med såkalte *linjaler*. Linjaler er fragmenter av både retusjerte og uretusjerte flekker og knyttes normalt til produksjon av sammensatte redskaper. Hjørnet/-ene på flekkefragmentene er brukt på samme måte som stikler, til å lage furer i skaft av bein og tre, der man så har satt inn skarpe flintegger (Sjöström og Nilson 2009; Knutsson mfl. 2016).

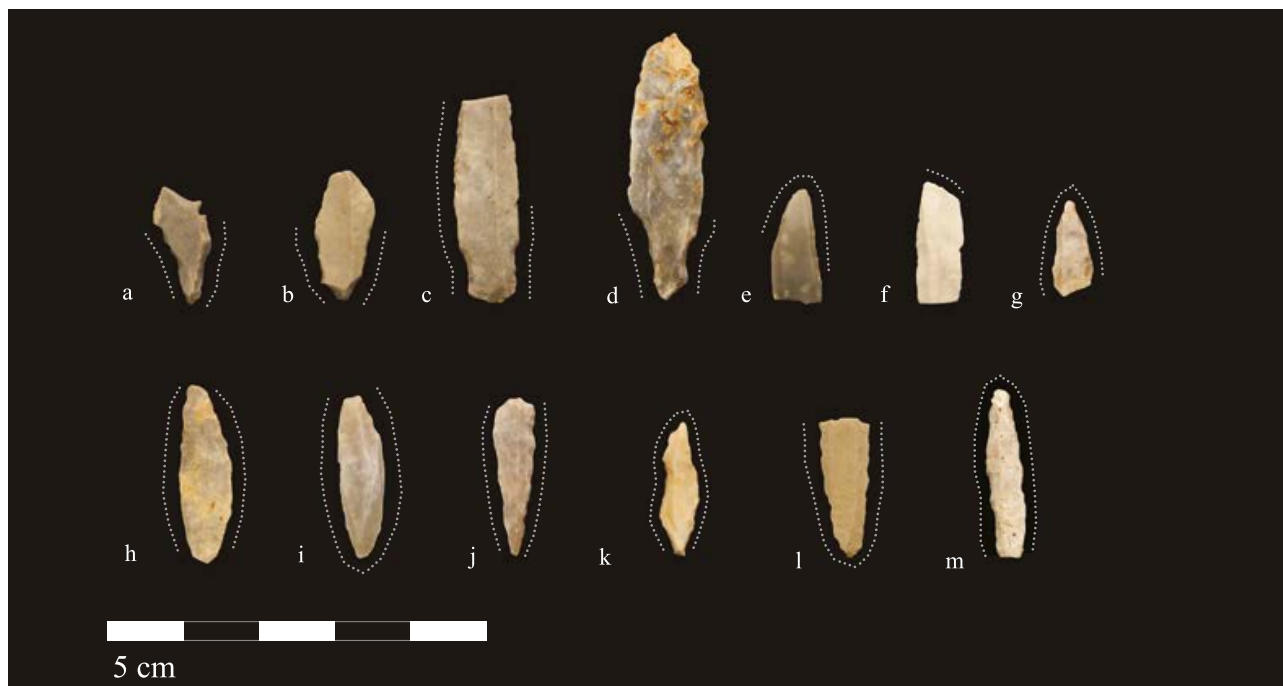
Kjerner

Kjernematerialet fra Hesthag C2 er omfattende; totalt 244 funn er kjerner eller kjernefragmenter av flint, bergkrystall og kvarts. De bipolare kjernene dominerer i alle tre råstoffene.

Flintkjerner

Av flint ble det funnet bipolare kjerner og koniske kjerner (fig. 2.3.2.9), mikroflekkkjerner, plattformkjerner og uregelmessige kjerner.

Lotte Eigeland har analysert 78 av 119 flintkjerner fra Hesthag C2. Den følgende gjennomgangen bygger på hennes analyse (Eigeland, kap. 3.6, denne bok; jf. Eigeland 2016c). Flertallet av de analyserte kjernene regnes som oppbrukt. Dette innebærer at kjernene er små, ofte har en vinkel på over 90° mellom plattformkant og kjernefront og kan være vanskelig å holde



Figur 2.3.2.6: Pilspisser og mikrolitter fra Hesthag C2. Tre pilspisser med tanger (a–c), det mulige emnet til A-spiss (d), mikrolitter (e–j) og mulige mikrolitter (k–m). Ill.: S. Viken / KHM. *Figure 2.3.2.6: Arrowheads and microliths from Hesthag C2: three tanged arrowheads (a–c), a possible tanged point preform (d), microliths (e–j) and possible microliths (k–m).*



Figur 2.3.2.7: Bor og skrapere fra Hesthag C2. Bor laget av avslag (a–b), bor laget av flekker (c–g), mulige bor (h–i), skrapere laget av avslag (j–l) og skrapere laget av flekker (m–n). Ill.: S. Viken / KHM. *Figure 2.3.2.7: Borers and scrapers from Hesthag C2: flake borers (a–b), blade borers (c–g), possible borers (h–i), flake scrapers (j–l) and blade scrapers (m–n).*



Figur 2.3.2.8: Retusjerte flekker og mikroflekker fra Hesthag C2. Sannsynlige skjæreredskaper (a–l) og linjaler (m–q). Ill.: S. Viken / KHM. *Figure 2.3.2.8: Retouched blades and microblades from Hesthag C2: knives (a–l) and segmented blades with retouch and traces of use, i.e. “rulers” (m–q).*

i et grep eller i en holdemekanisme. Flertallet av de analyserte kjernene er små, standardiserte bipolare kjerner (Eigeland, kap. 3.6, denne bok).

De tolv koniske kjernene fra lokaliteten, som inngår i Eigelands analyse, er små, og ni stykker har fasettert plattform. Ni koniske kjerner har rester av cortex. Kjernene er slått i én retning, og bare én er slått rundt hele omkretsen av plattformen. Fire av kjernene har spor i basis, som tyder på at de har vært understøttet. Hvorvidt disse sporene skyldes at kjernene har vært plassert i en holdemekanisme, eller om de har vært støttet mot en ambolt, kan ikke bestemmes med sikkerhet. Seks amboltstøttede kjerner er imidlertid identifisert; disse er svært små plattformkjerner med knusespor i basis. Fire av disse kjernene kan ha vært koniske kjerner på et tidligere trinn og representerer i så fall siste ledd i reduksjonen.

Syv kjerner har Eigeland klassifisert som knoller. Fire av disse er små strandflintknoller med fasetterte plattformer, som er anvendt til produksjon av mikroflekker. Fem plattformkjerner ble også identifisert. Tre av disse er anvendt til mikroflekkeproduksjon (Eigeland 2016c).

Kjerner av bergkrystall og kvarts

I kjernematerialet av bergkrystall foreligger det 16 bipolare kjerner, 1 mikroflekkkjejerne, 3 plattformkjerner og 5 uregelmessige kjerner. Kjernematerialet av kvarts består av fem bipolare kjerner, to plattformkjerner og tre uregelmessige kjerner.



Figur 2.3.2.9: Alle koniske kjerner fra Hesthag C2. Ill.: S. Viken / KHM. *Figure 2.3.2.9: All conical cores from Hesthag C2.*

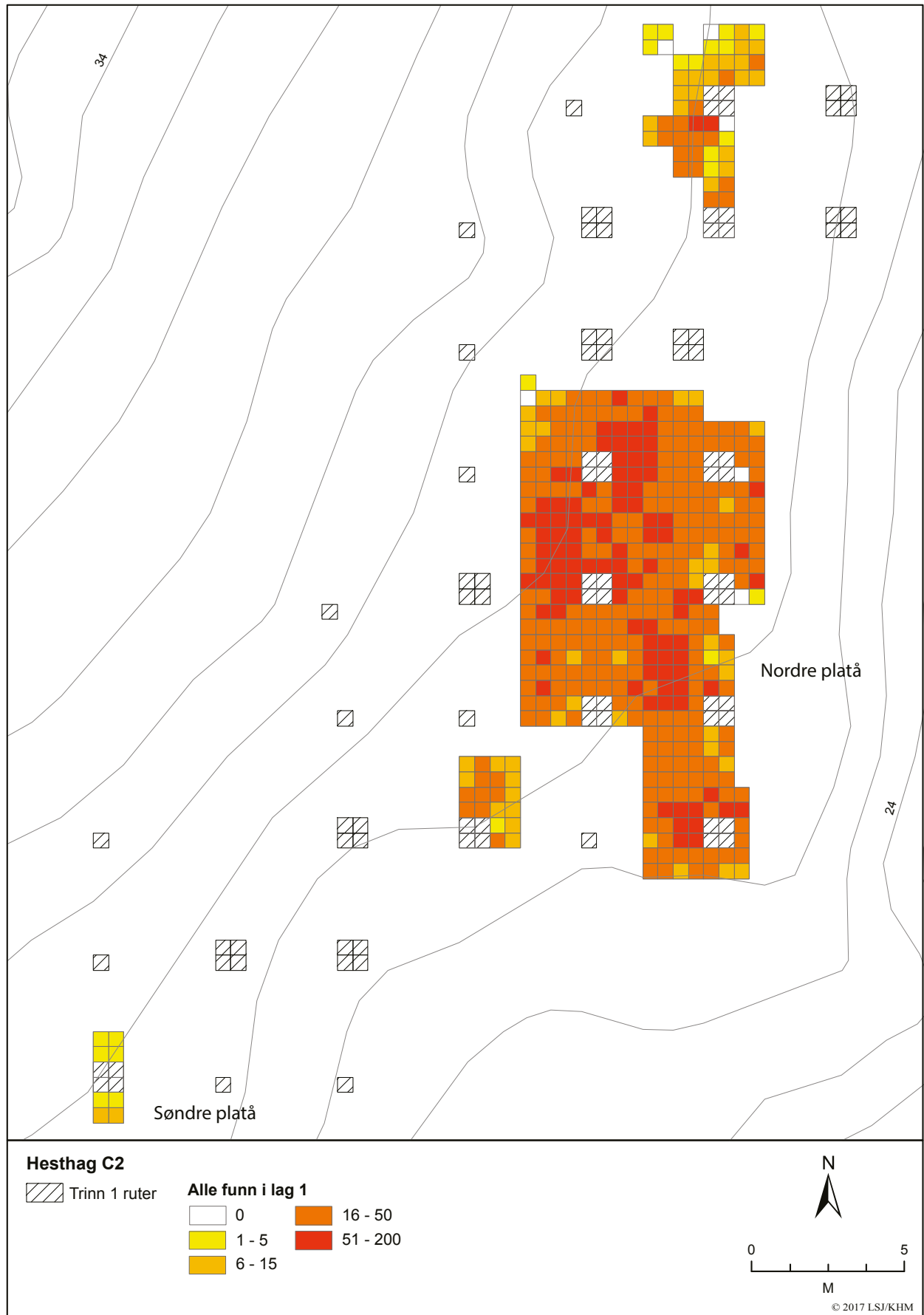
Flekker og mikroflekker

Flint

Flekker og mikroflekker utgjør 18 % av flintmaterialet. Andelen flekker og mikroflekker med retusj utgjør henholdsvis 15 % og 5 %. Flekkematerialet er fragmentert; bare 31 av 1048 flekker er hele. Midtfragmentene dominerer i flekkematerialet. Dette kan til en viss grad bero på høy grad av varmpåvirkning. Midtfragmentene dominerte imidlertid også i flekkematerialet som Eigeland har gjennomgått i sin analyse (se nedenfor), der flekker som var fragmentert som følge av varmpåvirkning, var ekskludert. Trolig reflekterer fragmenteringen at flekker er bevisst knekt

for deretter å bli brukt til ulike formål (jf. Rankama og Kankaanpää 2008: 895; 2011: 191–194; Damlien 2016: 384–387). Systematisk knekking av flekker er også observert på flere andre undersøkte mellommesolittiske lokaliteter langs kysten av Sørøst-Norge (Fossum 2014b: 185; Solheim og Damlien 2013).

Flekkematerialet domineres av mikroflekker, mens småflekker utgjør omtrent en tredjedel av flekkematerialet og makroflekker nærmest er fraværende. Dette viser en spesialisert teknologi innrettet mot produksjon av regelmessige, smale flekker som kan brukes som flintegger i sammensatte redskaper (jf. Åstveit 2008a: 571–572). Mikroflekkene stammer trolig fra opphold på stedet i både mellom- og seinmesolitikum



Figur 2.3.2.10: Funnspredning for alle funn i lag 1 fra Hesthag C2. Ill.: L.S. Johannessen / KHM.
Figure 2.3.2.10: Distribution of all lithic finds in layer 1 at Hesthag C2.

siden produksjon av mikroflekker er vanlig i begge disse periodene (Eigeland 2015: 376–377; Damlien 2016: 341–352).

Eigeland (kap. 3.6, denne bok) har analysert 260 flintflekker og -mikroflekker fra lokaliteten. Analysen viser at flekkene og mikroflekkene har høy grad av regelmessighet. Flekkene oppviser stor grad av fragmentering, der midtfragmenter dominerer.

Bergkrystall og kvartsitt

Ni flekker og førtiåtte mikroflekker utgjør flekkematerialet av bergkrystall. Bare én av mikroflekkene er retusjert. Enten har flekkene av bergkrystall i stor grad blitt brukt uten videre bearbeiding, eller så har de innsamlede flekkene ikke blitt valgt ut til bruk og dermed blitt liggende igjen på lokaliteten. To av flekkene og femten av mikroflekkene er hele. Det foreligger også tre flekkefragmenter av kvartsitt.

Anheng

Sentralt på det nordre plataet ble det funnet en gjenstand av sandstein. Gjenstanden (fig. 2.3.2.5 c) har to innhakk i den smaleste enden og er brukket i motsatt ende. Bredden varierer fra 0,9 cm til 1,5 cm, og lengden er 2,7 cm. Formen ser ut til å ha vært oval-dråpeformet, og gjenstanden kan derfor minne om en *bromme*. Tykkelsen (0,7 cm) tilsier imidlertid at gjenstanden må ha hatt en annen funksjon, siden de tykke og avrundede kantene ikke egner seg til å lage lyd; gjenstanden er tolket som et anheng.

Sandsteinskniver og slipeplater

De syv fragmentene av sandsteinskniver (fig. 2.3.2.5 a–b) stammer fra to eller tre ulike kniver. To av de tre knivfragmentene fra det nordre plataet kan settes sammen. Eggen på denne sandsteinskniven har et V-formet tverrsnitt, og kniven er omtrent 1 cm tykk på det tykkeste. Fire sandsteinsknivfragmenter fra det nordligste området kan settes sammen til én kniv. Denne sandsteinskniven er tynnere og har en U-formet egg.

De ti slipeplatefragmentene stammer fra inntil syv ulike slipeplater av sandstein. Bare ett av slipeplatefragmentene er med sikkerhet brukt på begge flatsider, på de øvrige har én flatside spor av sliping.

Slipeplaten som er slipt på begge flatsider, er av rød sandstein. Med største mål på 16 cm og en vekt på nesten 600 gram er denne også det største slipeplatefragmentet fra Hesthag C2. Slipeplaten er kraftigere konkavslipt på den ene flatsiden enn den andre. Siden som er mest konkav, har en slipt fordypning på langs, som kan stamme fra sliping av økseegger (jf. Eggen 2014a: 169). Tre av sidekantene er hele og har antydninger til tilhugging før bruk.

Fire fragmenter som ble funnet i samme meterrute, kan sammenføres. Denne slipeplaten har spor av tilhugging langs én sidekant, mens den motstående sidekanten er slipt i en avrundet form. Spalteflater langs en tredje sidekant viser at slipeplaten ikke er hel etter sammenføyingen. Den slipte flatsiden er svakt konkav. Baksiden er noe ruere og har mulige spor av sliping.

Keramikkfragment

Det ble funnet ett skår av keramikk på lokaliteten. Dette er sannsynligvis en fot fra en *stjertepotte* som dateres til middelalderen (pers. med. Christian Rødsrud).

Funnspredning

Funnspredningen for alle funn (fig. 2.3.2.10) viser et større, sammenhengende funnførende område på det nordre plataet på Hesthag C2 samt mindre funnførende områder både sør og nord for dette. Den høye funnfrekvensen tyder på omfattende aktiviteter sentralt på det nordre plataet, hvor det ble gjort funn fra flere perioder i form av slatte artefakter av flint og andre steinsorter, syv ildsteder og én kokegrop. Ettersom lokaliteten er flerfasert og det har vært vanskelig å skille ut enfasede funnkonsentrasjoner, har ikke lokaliteten blitt inndelt i ulike aktivitetsområder.

DATERING OG BRUKSFASER

Datering ut fra C14-resultater

Åtte prøver ble vedartsanalysert ved Moesgaard Museum (Bartholin mfl. 2015). Alle prøvene inneholdt kull fra løvtre, med størst innslag av bjørk. Seks av prøvene ble deretter datert ved Ångströmlaboratoriet ved Uppsala universitet (tab. 2.3.2.11). De seks C14-dateringene synliggjør flere aktivitetsfaser på stedet, som det har vært vanskelig å skille ut i funnmaterialet.

Trekull fra ildstedet S1 lengst nord på lokaliteten er C14-datert på stammeved av eik til den seinmesolittiske nøstvetfasen, mens trekull fra ildsted S2 ble C14-datert til overgangen seinmesolitikum–tidligneolitikum (jf. Jakslund 2001; Glørstad 2002a, 2004b; Reitan 2016). Disse dateringene viser at det har vært aktivitet på stedet i seinmesolitikum. Aktiviteten fra denne perioden bør muligens ses i sammenheng med andre lokaliteter i området, som på bakgrunn av strandlinjekurven kan dateres til seinmesolitikum (se nedenfor).

Prøver fra de øvrige ildstedene samt kokegropen S8 ble C14-datert til ulike deler av eldre jernalder.

Kontekst	Prøvenr.	Dat. materiale	C14-år BP	Kal. alder (2 σ)	Lab.ref.	Bestemte vedarter i prøven
A2726 (S1), ildsted	P202850 (MP1)	Trekull, eik/ <i>Quercus</i> , YS	6351 \pm 45	5470–5220 f.Kr.	Ua-50970	10 biter, hvorav 9 eik (<i>Quercus</i> , YS), 1 bjørk (<i>Betula</i> YS)
A2736 (S2), ildsted	P202851 (MP2)	Trekull, hassel/ <i>Corylus</i> , EG/YG	5172 \pm 44	4150–3800 f.Kr.	Ua-50971	10 biter, hvorav 6 hassel (<i>Corylus</i> , 3 EG, 3 YG), 3 eik (<i>Quercus</i> , 2 ES, 1 YS), 1 lind (<i>Tilia</i> YS)
A4049 (S3), ildsted	P202552 (MP3)	Trekull, bjørk/ <i>Betula</i> , YS	2182 \pm 30	370–160 f.Kr.	Ua-50972	3 biter, hvorav alle bjørk (<i>Betula</i> YS)
A5366 (S8), kokegrop	P202857 (MP8)	Hassel/ <i>Corylus</i>	2143 \pm 32	360–50 f.Kr.	Ua-50984	10 biter, hvorav 6 hassel (<i>Corylus</i>), 4 bjørk (<i>Betula</i>)
A4063 (S4), ildsted	P202853 (MP4)	Trekull, bjørk/ <i>Betula</i> , YS?	1977 \pm 30	50 f.Kr.–80 e.Kr.	Ua-50973	8 biter, hvorav 5 bjørk (<i>Betula</i> YS), 3 eik (<i>Quercus</i> YS?)
A4224 (S5), ildsted	P202854 (MP5)	Trekull, bjørk/ <i>Betula</i> , YS?	1866 \pm 31	70–230 e.Kr.	Ua-50974	6 biter, hvorav 4 bjørk (<i>Betula</i> YS?), 2 hassel (<i>Corylus</i> EG?)

Tabell 2.3.2.11: C14-dateringer fra Hesthag C2. «YG» står for yngre grein, «EG» for eldre grein, «YS» for yngre stamme, «K» for kvist, «A» for annet, eksempelvis bark eller nøtteskall. *Table 2.3.2.11: Radiocarbon dates from Hesthag C2.* “YG” – young branch, “EG” – old branch, “YS” – young tree trunk, “K” – twig, “A” – other (e.g. bark or nut shell).

Flere av dateringene overlapper hverandre, noe som sannsynliggjør at dateringene er reelle, og at ildstedene og kokegropen representerer aktivitet på stedet i perioden fra 370 f.Kr. til 270 e.Kr. Denne aktiviteten kan ikke spores i funnmaterialet og bør knyttes til utmarksaktivitet i området i eldre jernalder. Muligvis kan denne aktiviteten ses i sammenheng med gravfeltet Hesthag C7 samt mulig gårdsbebyggelse på Hesthag i eldre jernalder, som er indikert av dyrkingslag og strukturer på Hesthag C1 (McGraw, kap. 2.6.1, denne bok; jf. Reitan 2017c).

Datering ut fra typologi og strandlinje

Forekomsten av mikrolitter, koniske mikroflekkkjerner, mikroflekker, linjal og trinnøkser daterer den eldste aktiviteten på Hesthag C2 til mellommesolitikum, det vil si innenfor ca. 8250–6350 f.Kr. (Jakslund 2001; Bjerck 2008d; Åstveit 2008a; Sjöström og Nilsson 2009; Solheim 2013a; Damlien 2014; Reitan 2016). Denne dateringen sammenfaller med strandlinjekurven (Romundset, kap. 3.2, denne bok), som viser at lokaliteten tidligst kan ha blitt tatt i bruk ca. 8000 f. Kr. Flaten lokaliteten lå på, har på den tiden utgjort et nes ut mot et åpent fjordbasseng.

C14-dateringene fra ildstedene S1 og S2 vitner som nevnt om aktiviteter på stedet i to ulike omganger i seinmesolitikum. Få funn fra Hesthag C2 kan typologisk dateres til seinmesolitikum. Fraværet av håndtakskjerner, som er vanlige i seinmesolitisk kontekster på Sør-Østlandet (for eksempel Berg 1997; Jakslund 2001; Glørstad 2004; Eigeland og Fossum 2014; Reitan 2014e, 2016), skyldes trolig at koniske kjerner har blitt brukt i Aust-Agder i seinmesolitikum

(se videre diskusjon nedenfor i avsnittet «Tolkning av lokaliteten»). Nærmere analyser av funnmaterialet fra områdene rundt de seinmesolitisk ildstedene på Hesthag C2 kan potensielt belyse den seinmesolitisk aktiviteten bedre. Hesthag C2 lå i umiddelbar nærhet til flere lokaliteter (ID 170173, ID 170174 og ID 170175, jf. Eskeland 2013: 192–198). Disse er ikke nærmere undersøkt, men kan på bakgrunn av høyden over havet antas å være fra mellommesolitikum eller seinmesolitikum og dermed delvis samtidige med Hesthag C2. I nordøst grenset også Hesthag C2 mot lokaliteten Hesthag C1 (ID 170171). Denne lå ca. 20–25 moh., delvis i utmark, delvis i innmark og på begge sider av Otterslandveien. Ved undersøkelsen av Hesthag C1 ble det, foruten fossile dyrkingslag og et tyvetalls kokegrop fra eldre jernalder, også dokumentert to store, overlappende og kullholdige grop. Prøver fra dem ble C14-datert til seinmesolitikum, 4232–3996 f.Kr. (5270 \pm 30 BP, Beta 448119), og tidligneolitikum, 3786–3657 f.Kr. (4950 \pm 30 BP, Beta 448118; Reitan 2017c; jf. McGraw, kap. 2.6.1, denne bok).

Hesthag C2 har spor av å ha blitt benyttet også i seinere perioder. Funn av én slipt flintøks og deler av andre slike på det nordre plataet viser at det har vært aktivitet på stedet i neolitikum. Den firesidige, tynnbladede øksen kan sannsynligvis dateres til mellomneolitikum B, ca. 2800–2350 f.Kr. (jf. Malmer 1975: 76–77; Reitan 2005: 39, med henvisninger). Tre mulige pilspisser med tange og ett mulig emne til A-spiss av flint er trolig fra siste del av mesolitikum eller tidlig-/mellomneolitikum (jf. Glørstad 2002a, 2004b; Reitan 2014a, 2016; se også Reitan og Solberg,

kap. 2.5.2, denne bok). Sandsteinsknivene som ble funnet på lokaliteten, kan være fragmenter av neolitiske platekniver, men sandsteinskniver forekommer også i mellom- og seinmesolitiske kontekster på Sør-Østlandet (for eksempel Glørstad 2004b; Carrasco mfl. 2014; Melvold og Eigeland 2014; Reitan 2016). Anhenget kan også være neolittisk. Et lignende anheng ble funnet ved tuft S32a på lokaliteten Skjærvika Øvre i Hammerfest kommune i Finnmark. Anhenget fra Skjærvika er av rødlig skifer og har like innhakk som anhenget fra Hesthag C2, men har smalere kanter og ligner derfor mer på en bromme. Tuften ble datert til yngre steinalder 1 og 2 (Henriksen mfl. 2013: 310–323); dette tilsvarer tidsrommet fra slutten av seinmesolitikum til og med mellomneolitikum A i Sør-Norge (ca. 4500–2700 f.Kr.). Det begrensede typologiske funnmaterialet fra neolitikum på Hesthag C2 daterer den neolitiske aktiviteten til tidsrommet fra tidlignolitikum til og med mellomneolitikum B (3900–2350 f.Kr.).

TOLKNING AV LOKALITETEN

Lokaliteten ser ut til å ha hatt en attraktiv beliggenhet gjennom flere perioder. Siden det ikke har lyktes å skille ut enfasede områder på lokaliteten, er det usikkert hvor stor utsagnsverdi funnspreidningen har. Nedenfor vil derfor ulike aktiviteter som kan ha funnet sted på lokaliteten, og lokalitetens funksjon i mesolitikum og neolitikum (ca. 8000–2350 f.Kr.) diskuteres ut fra strukturer, det samlede funnmaterialet og lokalitetens relasjon til nærliggende lokaliteter.

Aktivitetsspor fra mellom- og seinmesolitikum

Bruk av lokale råstoff

Funnmaterialet viser bruk av flere råstoff som kan ha blitt funnet lokalt. Blant flintmaterialet viser strandflintknoller med åpningsavslag at det har blitt testet råstoff på stedet, og kjerner med vannrullet cortex viser at strandflintknoller har blitt benyttet. Funn av ubearbeidede strandflintknoller viser at strandflint kan ha blitt funnet i strandsonen ved lokaliteten eller i nærområdet.

Kjernene og redskapene av kvarts viser at melkekvarts av god kvalitet har blitt brukt, men mye av kvartsmaterialet er, som nevnt, av dårlig kvalitet. Det er trolig at ubearbeidede klaser med bergkrystall har blitt tatt med til lokaliteten. Funn som antyder dette, er fem ubearbeidede bergkrystaller, en påbegynt og forkastet bergkrystallkjerne og krystaller med kvartsinnslag som sannsynligvis stammer fra den delen som har vært festet i klasen. Kvartsen av dårlig kvalitet kan

stamme fra rensing av slike klaser med bergkrystall. Flekker og mikroflekker av bergkrystall viser at dette råstoffet har blitt utnyttet i flekkeproduksjon på lokaliteten. Bare én av disse mikroflekkene er retusjert. Enten har mikroflekkene av bergkrystall i stor grad blitt brukt uten videre bearbeiding, eller så har de innsamlede mikroflekkene ikke blitt valgt ut til bruk.

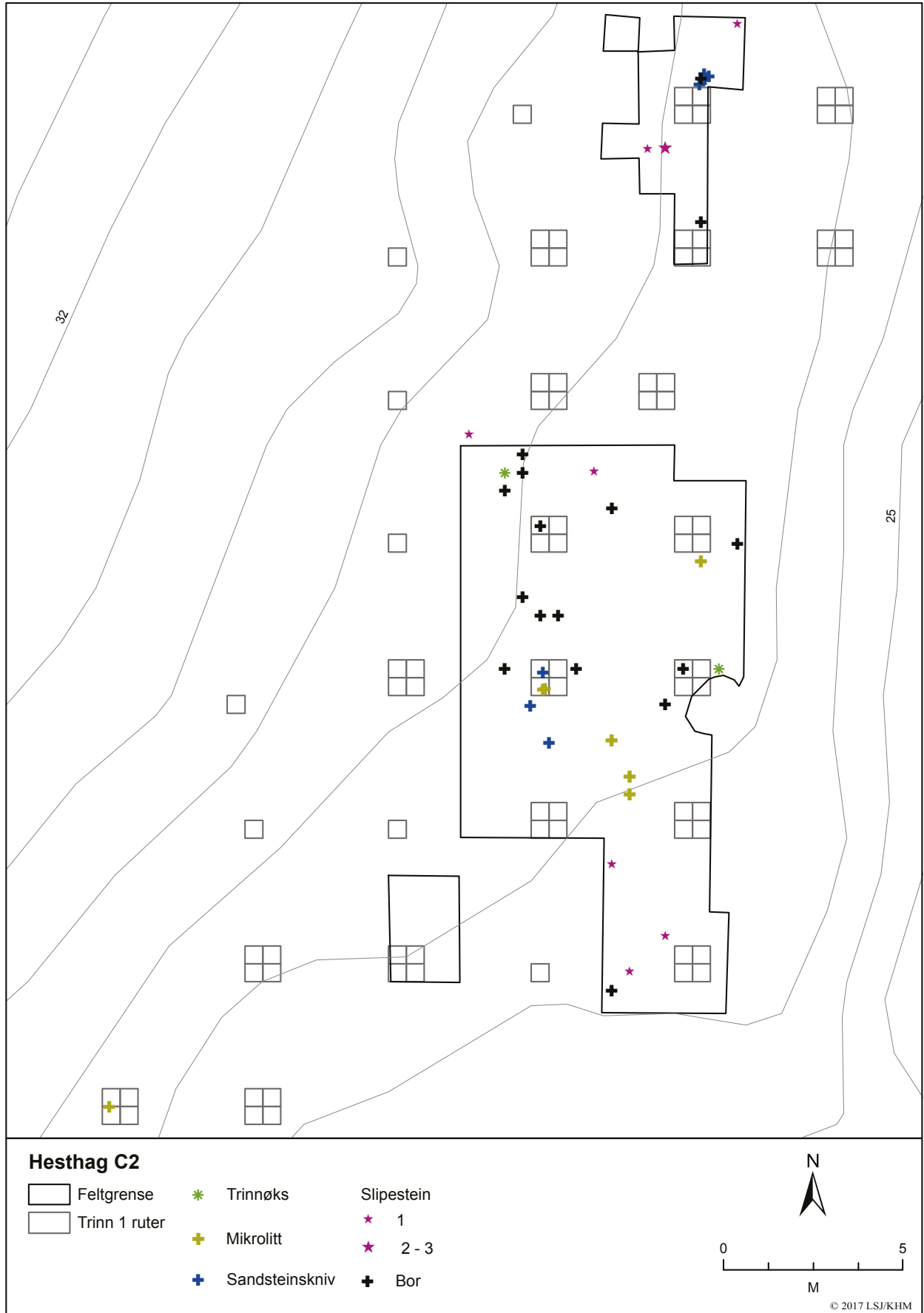
Produksjon og bruk av sammensatte redskaper

Linjaler, mikrolitter, mikroflekker og flekker med retusj kan knyttes til produksjon, bruk og reparasjon av sammensatte redskaper med skaft av tre, bein eller gevir, som pilspisser, lystere og kniver (Bjerck 2008d: 79; Sjöström og Nilson 2009; Bergsvik og David 2015). Bergsvik og David (2015) setter også bor, sandsteinskniver og slipeplater i sammenheng med produksjon av fiskekroker og sammensatte redskaper (se også Viken, kap. 2.3.1, denne bok). Spredningen av redskaper viser at denne aktiviteten kan knyttes til den nordligste delen av Hesthag C2 og hovedaktivitetsområdet på det nordre platået (fig. 2.3.2.12).

Boplassinventar

I sin studie av en jaktpost tilhørende nunamiutinitene i Alaska observerte Binford (1983a) at enkelte redskaper på jaktposten ble ansett for å tilhøre stedet, og at disse var tilgjengelige for alle som oppholdt seg der; redskapene var en form for boplassinventar, som folk som brukte området, visste om. Når en gruppe ankom til en kjent lokalitet, begynte de å lete etter boplassinventaret og trakk det opp fra der det var plassert, for å bruke det om igjen. Dette innebar at større gjenstander stadig ble flyttet oppover i de avsatte kulturlagene (Binford 1983b: 278–279). Mange av gjenstandene fra lokaliteter som er brukt gjentatte ganger, finner man derfor på grunn av at den kontinuerlige bruken av stedet og gjenstandene har opphørt (Binford 1983b: 278–279; jf. Vogel 2010: 142–145). Typisk boplassinventar kan være ildstedstein, steintyngder for å holde teltduker nede, ambolter, hammere, skrapere og råstoff; flere av redskapene har inngått i redskapssett på andre lokaliteter før de blir lagt igjen som boplassinventar (Binford 1983b: 278–279).

En prikkhugd trinnøks (fig. 2.3.2.5 d) med slipt egg stod på høykant innunder en stor stein øst på Hesthag C2. Eggen er nedslitt, men øksen er ellers hel og har hatt potensial til å bli skjerpet opp igjen. Plasseringen av øksen og det at øksen ikke er ødelagt, antyder at den ble plassert der for å kunne gjenfinnes ved et seinere besøk. Siden det ikke ble funnet noe økseproduksjonsavfall på stedet, kan øksen antas å være medbrakt fra en annen lokalitet. Øksen kan være et boplassmøblement, et redskap noen har plassert der



Figur 2.3.2.12: Spredning av redskaper på Hesthag C2. Ill.: L.S. Johannessen / KHM.
Figure 2.3.2.12: Distribution of lithic tools at Hesthag C2.

med tanke på at andre kunne ha behov for en øks på lokaliteten i fremtiden (jf. Binford 1983a: 293–298; 1983b: 271). Andre redskaper kan også ha fungert som boplassmøblement på Hesthag C2 – knakkesteiner, slipeplater, sandsteinskniver og strandflintknoller for å nevne noen. Dette er det imidlertid vanskelig å avgjøre siden disse funnene lå spredt på lokalitetsflaten. I tillegg kan de mange ildstedene ha blitt gjenbrukt over et langt tidsrom.

En stabil lokalitet i mesolitikum

En boplass som har vært besøkt flere ganger over et lengre tidsrom, kjennetegnes ifølge Eigeland (2015: 239) blant annet av spor etter lange, komplette reduksjonssekvenser, kombinasjon av ulike reduksjonsstrategier, funn av flere brukte knakkesteiner, bruk av en lokal råstoffkilde, råstoffhøsting i nærmiljøet, lite gjennomtrekk av kjerner og mange kasserte kjerner. Flere av disse kjennetegnene gjenfinnes i materialet fra Hesthag C2 i form av flere brukte knakkesteiner, bruk av råstoff fra lokale kilder (strandflint, kvarts og bergkrystall), råstoffhøsting i nærmiljøet (testing og kassering av små strandflintknoller, kjerner laget med utgangspunkt i små strandflintknoller) og mange kasserte kjerner.

Det mesolittiske funnmaterialet fra Hesthag C2 stammer fra mange opphold på stedet over en periode på rundt 4000 år; lokaliteten har vært en stabil lokalitet som har blitt besøkt gjentatte ganger i mellom- og seinmesolitikum. Trolig kan lokalitetens plassering i landskapet være av betydning her: Flaten lokaliteten lå på, var godt drenert og skjermet mot vær fra vest samtidig som det var god utsikt mot nord, øst og sør. En utflating i strandlinjekurven sammenfaller med den mesolittiske bruksfasen (jf. Romundset, kap. 3.2, denne bok). Dette i kombinasjon med at terrenget i nærområdet var bratt, har medført at havet ikke flyttet seg langt, i horisontal forstand, fra lokaliteten under denne bruksperioden.

Agder – et grenseområde mellom ulike tradisjoner i seinmesolitikum?

I det analyserte flekke- og kjernematerialet gjenkjente Eigeland (kap. 3.6, denne bok) mellommesolittiske flekkekonsepter, med produksjon av både mikro-, smal- og makroflekker fra koniske kjerner og en overvekt av medialfragmenter blant flekkene (jf. Damlien 2016: 344). Også de formelle redskapene kan, som nevnt, dateres på typologisk grunnlag til mellommesolitikum. På bakgrunn av funnsammensetning og teknologi ser dermed det meste av funnmaterialet ut til å stamme fra mellommesolittiske opphold på lokaliteten, og det er ikke gjort funn som entydig kan dateres til

seinmesolitikum. De seinmesolittiske dateringene fra ildstedene S1 og S2 (tab. 2.3.2.11) indikerer likevel at det har vært aktivitet på lokaliteten da. Likheter mellom kjerne- og mikroflekkematerialet fra Hesthag C2 og den seinmesolittiske lokaliteten Krøgenes D2 indikerer at koniske kjerner er brukt i seinmesolitikum i Aust-Agder, som på Vestlandet (Mansrud mfl., kap. 2.4.1; Eigeland, kap. 3.6, denne bok; jf. Bjerck 2008d). Dette gjør det vanskelig å skille mellom mellommesolittisk og seinmesolittisk mikroflekkeproduksjon på lokaliteten, men representerer samtidig ny kunnskap når det gjelder seinmesolitikum i Aust-Agder.

I nabofylket Telemark og i fylkene øst for Telemark kjennetegnes seinmesolitikum blant annet ved mikroflekkeproduksjon fra håndtakskjerner (for eksempel Berg 1997; Jaksland 2001; Glørstad 2004b; Eigeland og Fossum 2014; Reitan 2014c). Reitan (2016) har, basert på resultatene fra utgravde lokaliteter i Vestfold og Telemark, foreslått en ny kronologisk inndeling av mellom- og seinmesolitikum i Oslofjordområdet. På bakgrunn av funnmateriale, teknologi og C14-dateringer deler han mellom- og seinmesolitikum inn i fire faser: *mikrolittfasen* (ca. 8200–7000 f. Kr.), *trinnøksfasen* (7000–5600 f. Kr.), *nøstvetøksfasen* (5600–4500 f. Kr.) og *tverrpilfasen* (4500–3900 f. Kr.).

Reitan (2016) fremholder at gjenstander som knyttes til den østnorske tradisjonen – nøstvetøkser og håndtakskjerner – introduseres rundt 5600 f. Kr., altså på et seinere tidspunkt enn man tidligere har antatt (se for eksempel Berg 1997; Jaksland 2001; Glørstad 2004b). De C14-daterte seinmesolittiske besøkene på Hesthag C2, rundt 5470–5220 f. Kr. / 4150–3800 f. Kr. kan, ifølge Reitan sin kronologi, knyttes til nøstvetøksfasen og tverrpilfasen. I disse periodene kjennetegnes kjerne-materialet ved blant annet håndtakskjerner og bipolare kjerner, men semikoniske og koniske mikroflekkkjerner forekommer også i nøstvetøksfasen på Østlandet (for eksempel Reitan 2014f). At håndtakskjerner ikke er påvist på Hesthag C2 og Krøgenes D2, kan indikere at tradisjonsgrensen mellom det østnorske og vestnorske kan ha gått et sted mellom Aust-Agder og Telemark (jf. Bjerck 2008d: 101–102). Det ble heller ikke funnet tverrpiler, som også er knyttet til den østnorske tradisjonen (Bjerck 2008d: 101–102; jf. Mikkelsen 1975a; Glørstad 1998a, 2004b; Reitan 2016), verken på Hesthag C2 eller Krøgenes D2. På Krøgenes D2 (Mansrud mfl., kap. 2.4.1, denne bok) og Krøgenes D1 (Reitan og Solberg, kap. 2.5.2, denne bok) ble det imidlertid funnet nøstvetøkser som anses som en del av den østnorske tradisjonen i seinmesolitikum (jf. Bjerck 2008d). Nøstvetøkser, tverrpiler og håndtakskjerner er også kjent fra lokaliteter i Vest-Agder (for eksempel Ballin og Jensen 1995; Reitan og Berg-Hansen 2009).

Gjenstander eller råstoff som knyttes til ulike tradisjoner, kan overlape i grenseområder mellom to ulike tradisjoner. Bergsvik og Olsen (2003) har sett på spredningen av mesolittiske økser laget av grønnstein og diabas fra henholdsvis Hespriholmen i Bømlo (Sunnhordland) og Stakaneset i Flora (Sogn og Fjordane). I Nordhordland finnes økser av begge disse råstoffene; denne sonen med overlappende tradisjoner er tolket som en etnisk grense (Bergsvik og Olsen 2003: 399–402). Den sørlige spredningen av disse diabasøksene viser at det er funnet noen få eksemplarer i Vest-Agder, men at ingen er funnet øst for Vest-Agder (Bergsvik og Olsen 2003: 398). Når ulike øksevarianter som kan knyttes til både den østnorske og den vestnorske tradisjonen, finnes i Vest-Agder, er det nærliggende å tolke dette som et grenseområde mellom den østnorske og den vestnorske tradisjonen (jf. Bergsvik og Olsen 2003; Solheim 2007, 2012; Bergsvik 2011).

Solheim (2007, 2012) har påvist en sosial grense på bakgrunn av østnorske og vestnorske trekk i det neolittiske funnmaterialet; øst for Lista opptrer østlige trekk hyppig i funnmaterialet, men på Agder er innflytelse fra Vestlandet også synlig (Solheim 2012: 248–249; jf. Reitan 2010). Denne tradisjonsgrensen i Agder-fylkene kan, som diskutert ovenfor, ha røtter tilbake til seinmesolittikum. Få seinmesolittiske lokaliteter er gravd i Aust-Agder, og det er derfor vanskelig å vite hvorvidt fraværet av håndtakskjerner og tverrpiler er et gjennomgående trekk i det seinmesolittiske funninventaret i området, eller om fraværet av disse funnkategoriene på lokalitetene Hesthag C2 og Krøgenes D2 heller skyldes representativitet, råstoffstrategi eller oppholdsvarighet. Dersom det skulle vise seg at disse østnorske gjenstandstypene ikke finnes i Aust-Agder, vil det forsterke inntrykket av at det har gått en tradisjonsgrense i Agder-fylkene allerede i seinmesolittikum.

Aktivitetsspor fra neolitikum

Få funn kan på typologisk eller teknologisk grunnlag dateres til neolitikum, men funn av en slipt flintøks og deler av slike på det nordre plataet viser at det har vært aktivitet på stedet i denne perioden. Et anheng, fragmenter av en bergartsøks, tre mulige pilspisser med tange og et mulig emne til en A-pil bør også nevnes her (fig. 2.3.2.13).

En jaktpost eller et utsiktspunkt?

Om oppholdene i neolitikum hadde hatt en viss varighet, burde man forvente å finne flere spor av redskapstilvirking/-bruk og flekkeproduksjon på stedet. Kanskje har lokaliteten fungert som en *special-purpose*

site (jf. Binford 1983a) i neolitikum, for eksempel som en utsiktsplass i forbindelse med jakt eller fiske eller en rasteplass i forbindelse med andre utmarksaktiviteter. Ifølge Binford (1983b: 284) vil man på slike lokaliteter arbeide videre på gjenstander som er tatt med til lokaliteten med tanke på at arbeid på gjenstandene kan utføres når det er dødtid; avfall vil derfor i hovedsak stamme fra bearbeiding av delvis ferdige produkter. Et mulig emne til en A-spiss og tre mulige pilspisser kan tyde på at pilspisser ble omskjeftet på plassen, mens de slipte avslagene og fragmentene kan stamme fra bruk eller oppskjerping av flintøkser.

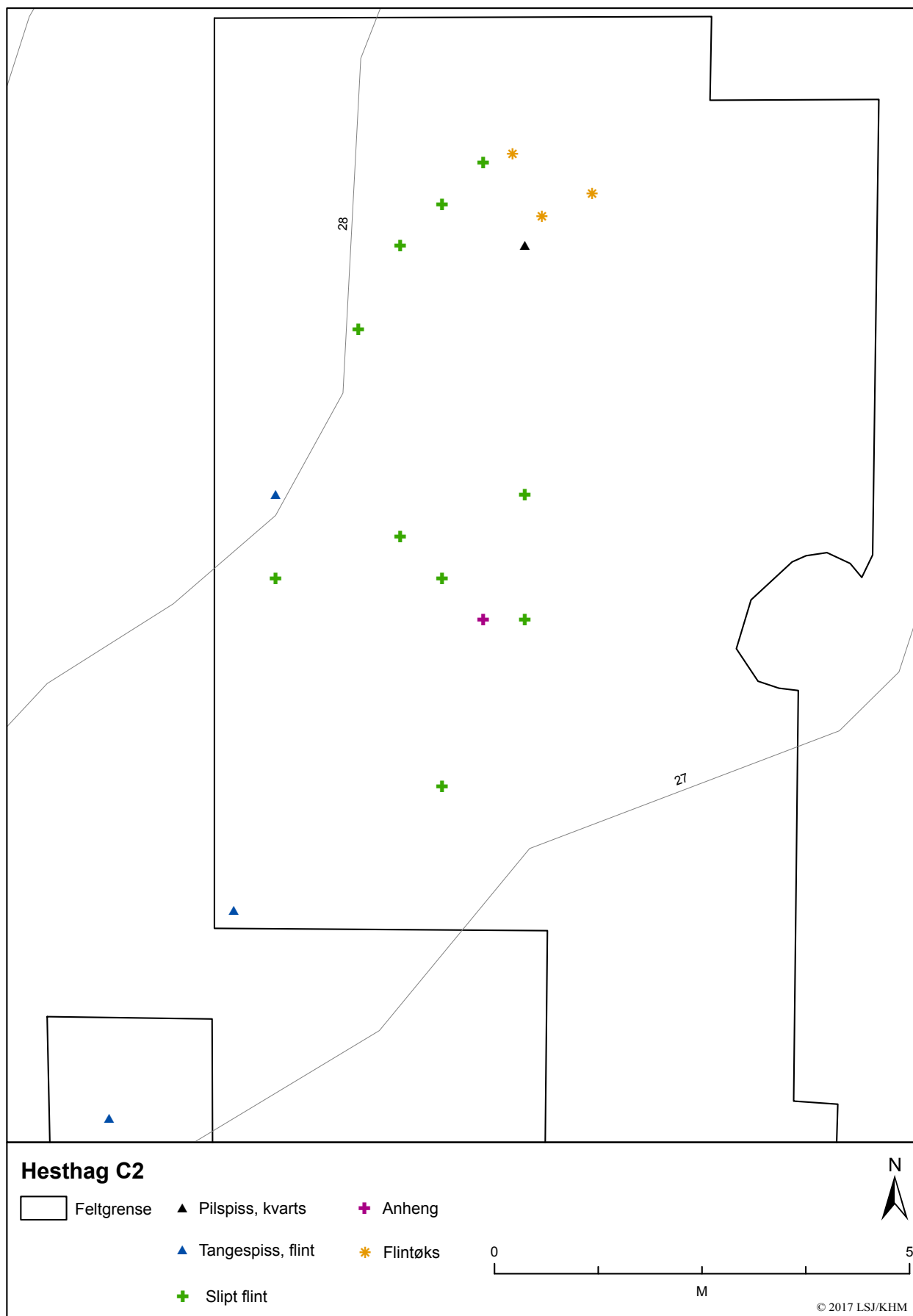
Alternativt kan avslagene og fragmentene med slipte partier være rester av økser som har blitt omarbeidet til flekkekjerner (jf. Eigeland 2015: 124–126). Det ble imidlertid bare funnet ett flekkefragment med slipte partier, og de analyserte flekkene fra lokaliteten knyttes til mesolittiske flekkekonsepter. Dersom flintøkser ble brukt som råstoff på stedet i neolitikum, burde også flintøkser som ble funnet, egne seg til dette. At øksen i stedet ble brent, kan tyde på at de som har oppholdt seg på Hesthag C2 i neolitikum, ikke manglet råstoff.

Rituell aktivitet?

Neolittiske lokaliteter med brente økser er kjent blant annet fra Sverige. Larsson (2000) tolker brenningen av flintøkser som en rituell handling som kan ha hatt en magisk fremtoning for publikum ettersom flinten endrer farge og eksploderer i ilden. Ødeleggelse av økser kan også ha vært en måte å legitimere makt på ettersom øksene må ha representert rikdom. Han poengterer at brenning av økser er observert på høydedrag der det ikke har vært samtidig bosetning, og at lokaliseringen tyder på at ritualet skulle være synlig i landskapet. Hesthag C2 lå på et høydedrag med utsikt mot lokalitetene Hesthag C6 og Hesthag C7, hvor det også ble påvist spor etter neolittisk aktivitet (se Reitan mfl. kap. 3.9; McGraw, kap. 2.6.1, denne bok). Med tanke på at det ikke er tydelig boplassaktivitet fra neolitikum i funnmaterialet fra Hesthag C2, minner den brente flintøkseren derfra om det fenomenet Larsson (2000) beskriver.

At steinøkser kan ha hatt et vell av betydninger, kan illustreres med et eksempel fra Awigobi-steinbruddene i Ny-Guinea. Slipte steinøkser (*ye-yao*) fungerte der som antropomorfe representasjoner og ble brukt som blant annet medgift og betaling for blodpenger; de ble bare vist frem offentlig under betalingsritualer (Pétrequin og Pétrequin 2011: 345–346):

These *ye-yao*, after being sawn and carefully polished, were dressed in a miniature skirt and in pendants made from the fur of the tree kangaroo,



Figur 2.3.2.13: Spredning av neolittiske gjenstander på Hesthag C2. Ill.: L.S. Johannessen / KHM.
Figure 2.3.2.13: Distribution of Neolithic finds at Hesthag C2.

in order to transform them into women of stone.
(Pétrequin og Pétrequin 2011: 345)

Apel mfl. (1997) tolker imidlertid brente økser, redskaper og keramikk på den tidligneolittiske lokaliteten *Skumparberget 2* i Närke i Midt-Sverige som en form for avfallshåndtering ettersom gjenstandene var ødelagt før brenningen. Eggen på øksen fra Hesthag C2 var knust, og brenningen av øksen kan dermed ha

vært en form for avfallshåndtering. Det ble imidlertid ikke påvist andre brente neolittiske redskaper eller keramikk i området der øksen ble funnet. Øksen er også laget av flint av høy kvalitet og bør derfor ha blitt ansett som verdifullt råstoff selv om eggen var knust. Det kan derfor være sosiale eller rituelle årsaker som er ukjente for oss, som lå til grunn for deponeringen av flintøksen.